

## КАСКАДНЫЕ ПРОЦЕССЫ В ПЛАЗМЕННОМ ГЕНЕРАТОРЕ

М. А. Красильников<sup>а</sup>, М. В. Кузелев<sup>а</sup>, А. А. Рухадзе<sup>б</sup><sup>а</sup> Московский государственный университет печати  
127550, Москва, Россия<sup>б</sup> Институт общей физики Российской академии наук  
117942, Москва, Россия

Поступила в редакцию 25 февраля 1997 г.

Теоретически и численно исследована динамика нелинейного рассеяния на электронном пучке волны, отраженной от излучающего устройства плазменного генератора. Показано, что встречная плазменная волна может нелинейно взаимодействовать с другими волновыми модами системы и пучковыми волнами плотности заряда, что приводит к изменениям в работе генератора. С помощью численного моделирования установлено снижение эффективности генерации вследствие рассеяния встречной волны и вынужденного излучения сильно потенциальной плазменной волны с фазовой скоростью  $v_{ph} = \omega/k_z \ll c$ .

1. В работе [1] была исследована нелинейная динамика резонансного вынужденного черенковского излучения в плазменном волноводе конечной длины. Было установлено, что частичное отражение попутной электронному пучку плазменной волны приводит к изменению уровня выходного сигнала и существенно влияет на его временную динамику. Отмечалось, что встречная волна может рассеяться на электронах пучка, что может привести к развитию целой серии каскадных процессов. Исследованию данных процессов и посвящена настоящая работа.

Пусть участок  $0 < z < L$  металлического волновода радиуса  $R$  заполнен поперечно-однородной плазмой ( $\omega_p$  — ленгмюровская частота электронов плазмы). В начальный момент времени в волновод через границу  $z = 0$  начинает инжектироваться тонкий электронный пучок с некоторым фронтом. Инжектируемый электронный пучок за счет спонтанного черенковского излучения возбуждает попутную плазменную волну с частотой  $\omega \sim \omega_0 = \sqrt{\omega_p^2 - k_{\perp}^2} u^2 \gamma^2$  [2], где  $k_{\perp}$  — поперечное волновое число,  $u$  и  $\gamma$  — скорость и релятивистский фактор электронного пучка. Вблизи границы  $z = L$  расположено излучающее устройство. В случае простейшей модели рупора — резкой границы плазма–вакуум — коэффициент отражения попутной плазменной волны дается формулой [1, 2]

$$\kappa = \frac{n(\omega_p) - n(0)}{n(\omega_p) + n(0)}, \quad (1)$$

где  $n^2(\omega_p) = 1 - k_{\perp}^2 c^2 / (\omega^2 - \omega_p^2)$ . Отраженная встречная волна имеет ту же частоту, но распространяется в противоположном направлении. Вблизи границы  $z = 0$  встречная волна практически полностью трансформируется в попутную. Если выполнены стартовые условия генерации для системы (по току пучка  $J_b$ , длине волновода  $L$ , плазменной частоте  $\omega_p$ ), то происходит самовозбуждение плазменного генератора [2].

В модели, принятой в [1], роль встречной волны сводилась к осуществлению обратной связи, поскольку встречная волна, не находясь в черенковском резонансе с элек-

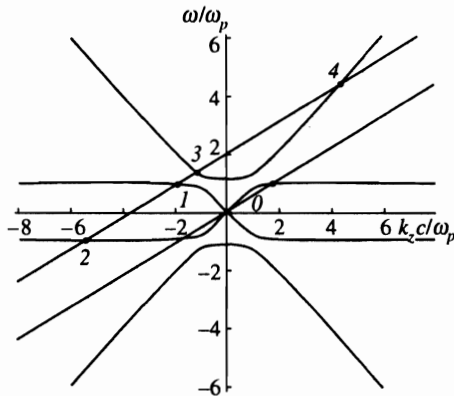


Рис. 1. Дисперсионные кривые плазменного волновода (к определению волноводных мод, находящихся в комбинационном резонансе с пучковыми волнами плотности заряда)

тронами пучка, в среднем с ними не взаимодействует. Однако встречная волна может рассеяться на пучке с изменением частоты и поляризации, что может привести к изменению режимов генерации. Основным механизмом таких процессов является нелинейное взаимодействие волн [3].

2. Спектры колебаний волновода с однородным плазменным заполнением и тонким пучком, помещенными в сильное продольное магнитное поле, определяются из следующих дисперсионных уравнений [4]:

$$D^n = k_{\perp n}^2 + \left( k_z^2 - \frac{\omega^2}{c^2} \right) \left( 1 - \frac{\omega_p^2}{\omega^2} - \frac{\omega_b^2/\gamma^3}{(\omega - k_z u)^2} G_n \right), \tag{2}$$

где  $n = 1, 2, \dots$  — номер поперечной моды,  $\varphi_n$  — собственная функция пустого волновода,  $k_z$  и  $\omega$  — продольное волновое число и частота собственной волны,  $\omega_b$  — ленгмюровская частота электронов пучка,  $G_n = S_b \varphi_n^2(r_b) / \|\varphi_n\|^2$  — геометрический фактор пучка,  $S_b$  — площадь его поперечного сечения, а  $r_b$  — средний радиус пучка. Дисперсионные кривые колебаний (2) для некоторого  $n$  приведены на рис. 1. Точка 0 на рисунке, соответствующая пересечению плазменной ветви дисперсионной кривой и прямой  $\omega = k_z u$ , отвечает точному черенковскому резонансу между плазменной волной и электронами пучка. Точка 1 соответствует встречной волне, имеющей ту же частоту, что и попутная ( $\omega_1 = \omega_0$ ), но распространяющейся в противоположном направлении ( $k_{z1} = -k_{z0}$ ).

Помимо электромагнитных ( $\omega^2 > k_z^2 c^2$ ) и плазменных ( $\omega^2 < \omega_p^2$ ) колебаний в системе присутствуют пучковые волны плотности заряда. В случае бесконечного тонкого пучка с поперечным профилем, задаваемым  $\delta$ -функцией, этих волн две: быстрая и медленная. Их спектр определяется соотношением

$$\omega = k_z u \pm \Omega_b(k_z), \tag{3}$$

где  $\Omega_b$  — частота колебаний пучка; точное выражение для  $\Omega_b$  можно найти, например, в [2]. При выполнении условий комбинационного резонанса возможно взаимодействие встречной волны (точка 1 на рис. 1), другой волноводной моды и пучковой волны плотности заряда. Комбинационный резонанс этих волн возможен при выполнении условий [2, 3]

$$\mathcal{D}_{1\alpha} = \omega_1 - \omega_\alpha - (k_{z1} - k_{z\alpha})u = \pm \Omega_b, \tag{4}$$

где  $\alpha$  — индекс, соответствующий волноводной моде. Условие (4) означает, что в системе покоя пучка произведение полей взаимодействующих волн дает биения с частотой колебаний плотности заряда пучка. Знак плюс в (4) относится к синхронизму с быстрой, а минус — с медленной пучковой волной плотности заряда.

Если частота  $\Omega_b$  существенно меньше всех других характерных частот системы, то для графического определения частоты и волнового числа волноводной моды, удовлетворяющих условиям резонанса (4), достаточно на рис. 1 провести прямую  $\omega = k_z u + 2\omega_0$ . Легко видеть, что  $\omega_\alpha$  и  $k_{z\alpha}$  с точностью до величин порядка  $\Omega_b$  совпадают с  $\omega_{2,3,4}$  и  $k_{z2,3,4}$ , отвечающими перенумерованным точкам на рис. 1, и далее под  $\alpha$  понимается один из этих индексов.

3. Обозначим через  $t_0$  характерное время изменения амплитуд взаимодействующих волн, а через  $\omega^{(0)}$  и  $k_z^{(0)}$  соответственно частоту и волновое число пучковой волны плотности заряда. Электроны пучка помимо поступательного движения участвуют во многих колебательных движениях. Выполнение условий

$$\max(t_0^{-2}, \Omega_b^2, \mathcal{D}_{1\alpha}^2) \ll (\omega_{1,\alpha} - k_{z1,\alpha} u)^2, (k_z^{(0)} u)^2 \quad (5)$$

позволяет разбить движение электронов в системе покоя невозмущенного пучка на быстрые и медленные составляющие [5], причем в разряд медленных попадают движения как в поле попутной плазменной и комбинационной волн, так и в поле пространственного заряда пучка.

При получении нелинейных уравнений, описывающих процессы в системе, учтем, что средняя ширина спектра излучения существенно меньше средней частоты [6–8], и воспользуемся методом медленно меняющихся амплитуд [9]. Кроме того, плазму будем рассматривать в линейном приближении, т. е. описывать с помощью линеаризованных уравнений гидродинамики [10].

4. Для описания электромагнитных полей в полностью замагниченной вдоль оси  $z$  системе заряженных частиц воспользуемся уравнением для скалярного поляризационного потенциала  $\Psi$  [11]:

$$\frac{\partial}{\partial z} \left( \Delta - \frac{1}{c^2} \frac{\partial^2}{\partial t^2} \right) \Psi = 4\pi (\rho_p + \rho_b), \quad (6)$$

где  $\rho_p$  и  $\rho_b$  — плотности наведенного в среде, состоящей из электронов плазмы и пучка, заряда. Решение уравнения (6) будем искать в виде

$$\Psi = \Psi_0 + \Psi_1 + \Psi_\alpha + \Psi_{1\alpha}, \quad (7)$$

где

$$\Psi_{0,1,\alpha}(z, t, r_\perp) = \frac{1}{2} [C_{0,1,\alpha}(z, t, r_\perp) \exp(-i\omega_{0,1,\alpha} t + ik_{z0,1,\alpha} z) + \text{c.c.}] \quad (8)$$

— поляризационные потенциалы:  $\Psi_0$  — попутной плазменной волны,  $\Psi_1$  — встречной плазменной волны,  $\Psi_\alpha$  — волны с одной из частот  $\omega_{2,3,4}$ . Вообще говоря, в (7) необходимо учитывать вклад не одной волноводной моды, а всех. Однако сравнение характерных времен нелинейного рассеяния волн показывает, что реально достаточно учесть только одну моду, что в дальнейшем и делается. Для поляризационного потенциала  $\Psi_{1\alpha}$  пространственного заряда пучка имеем

$$\Psi_{1\alpha}(z, t, r_\perp) = \frac{1}{2} [C_{1\alpha}(z, t, r_\perp) \exp(-i\omega^{(0)} t + ik_z^{(0)} z) + \text{c.c.}] \quad (9)$$

Отметим, что  $C_\alpha$  и  $C_{1\alpha}$  являются медленными функциями  $z$  и  $t$ .

Считая электронный пучок бесконечно тонким в поперечном сечении, для вычисления плотности заряда, наведенного в пучке, воспользуемся фазовой плотностью электронов пучка [12]:

$$\rho_b(z, t) = e \delta(r_\perp - r_b) \sum \Phi(z) \delta[z - z_j] \frac{n_b S_b \lambda}{N}, \quad (10)$$

где  $r_\perp$  — координата в поперечном направлении,  $r_b$  — средняя поперечная координата пучка,  $\Phi(z)$  описывает огибающую тока пучка в продольном направлении. Кроме того, предполагая в дальнейшем воспользоваться для моделирования пучка методом крупных частиц [13, 14], мы ввели в (10) полное число таких частиц на длине  $\lambda$ . При этом  $N = n_b S_b \lambda$ , где  $n_b$  — погонная плотность электронов пучка, а  $z_j$  — координата  $j$ -й частицы. Возмущение плотности заряда  $\rho_p$  плазмы определяется из уравнения гидродинамики:

$$\frac{\partial^2 \rho_p}{\partial t^2} = -\frac{\omega_p^2}{4\pi} \frac{\partial E_z}{\partial z}, \quad (11)$$

где  $E_z$  — продольная компонента напряженности электрического поля, которая выражается через поляризационный потенциал [10]:

$$E_z = \left( \frac{\partial^2}{\partial z^2} - \frac{1}{c^2} \frac{\partial^2}{\partial t^2} \right) \Psi. \quad (12)$$

Если функции (8) и (9) имеют общий пространственный период  $\lambda$  ( $\lambda = (2\pi/k_{z0,1,\alpha})n_{0,1,\alpha}$ ,  $n_{0,1,\alpha}$  — целые числа — количество длин волн с соответствующим индексом, укладываемое на длине  $\lambda$ ), то, подставив выражение для  $\Psi$  в уравнение поля (6), умножив его на  $\exp(i\omega_{0,1,\alpha}t - ik_{z0,1,\alpha}z)$  и проведя усреднение по  $z$  на длине  $\lambda$ , получим укороченные уравнения для медленных амплитуд:

$$\begin{aligned} & \left( \Delta_\perp - \frac{k^{(0)2}}{\gamma^2} + \frac{\omega_p^2}{u^2 \gamma^2} \right) C_{1\alpha} = \\ & = -i \frac{m}{e} \frac{\omega_b^2}{k_z^{(0)}} S_b \delta(r_\perp - r_b) \frac{2}{N} \sum_j \exp(i\omega^{(0)}t - ik_z^{(0)}z_j) \Theta_1(z_j - z, \lambda), \\ & \left( -iD'_{0,1,\alpha} + \frac{\partial D'_{0,1,\alpha}}{\partial \omega_{0,1,\alpha}} \frac{\partial}{\partial t} - \frac{\partial D'_{0,1,\alpha}}{\partial k_{z0,1,\alpha}} \frac{\partial}{\partial z} \right) C_{0,1,\alpha} = \\ & = \frac{m}{e} \frac{\omega_b^2}{k_{z0,1,\alpha}} S_b \delta(r_\perp - r_b) \frac{2}{N} \sum_j \exp(i\omega_{0,1,\alpha}t - ik_{z0,1,\alpha}z_j) \Theta_1(z_j - z, \lambda), \end{aligned} \quad (13)$$

где

$$\Theta_1(x, \lambda) = \begin{cases} 0, & x < -\lambda/2, \\ 1, & -\lambda/2 \leq x < \lambda/2, \\ 0, & x \geq \lambda/2, \end{cases} \quad (14)$$

а выражение для  $D'_{0,1,\alpha}$  совпадает с (2) при замене  $-k_{\perp n}^2 \rightarrow \Delta_\perp$  без учета пучкового вклада и при  $\omega = \omega_{0,1,\alpha}$  и  $k_z = k_{z0,1,\alpha}$ .

5. В соответствии с введенной временной шкалой (5) разобьем колебательные движения электронов в системе покоя пучка на быстрые и медленные:

$$v_{zj} = u + v'_j + \tilde{v}_j, \quad z_j = ut + z'_j + \tilde{z}_j, \quad (15)$$

где  $\tilde{z}_j$  и  $\tilde{v}_j$  — координата и скорость быстрых осцилляций  $j$ -й частицы в полях волн с частотами  $\omega_1$  и  $\omega_\alpha$ , а  $z'_j$  и  $v'_j$  описывают медленное движение в полях попутной плазменной волны, пространственного заряда пучка и комбинационной волны. Причем, если

$$|k_{z1,\alpha} \tilde{z}_j| \ll 1, \quad (16)$$

то быстрые осцилляции линейны по амплитудам  $C_1$  и  $C_\alpha$  и происходят за времена порядка  $(\omega_{1,\alpha} - k_{z1,\alpha}u)^{-1}$  [2].

Применяя стандартную процедуру усреднения по времени уравнений движения [15–17], получим уравнение для медленных компонент:

$$\begin{aligned} \frac{dz'_j}{dt} &= v'_j, \\ \frac{dv'_j}{dt} &= -\frac{ew_j}{2m\gamma^3} \left[ \hat{C}_{1\alpha} \exp(ik_z^{(0)} z'_j) + \hat{C}_0 \exp(ik_{z0} z'_j) + \right. \\ &\quad \left. + ik_z^{(0)} \frac{ew_j}{2m\Omega^2 \gamma^3} \hat{C}_1 \hat{C}_\alpha^* \exp(-i\mathcal{D}_{1\alpha} t + ik_z^{(0)} z'_j) + \text{с.с.} \right], \end{aligned} \quad (17)$$

где

$$\begin{aligned} w_j &= \left( 1 - 2\gamma^2 \frac{u^2 v'_j}{c^2 u} \right)^{3/2}, \\ \hat{C}_{0,1,\alpha} &= \left( k_{z0,1,\alpha}^2 - \frac{\omega_{0,1,\alpha}^2}{c^2} - 2ik_{z0,1,\alpha} \frac{\partial}{\partial z} - 2i \frac{\omega_{0,1,\alpha}}{c^2} \frac{\partial}{\partial t} \right) C_{0,1,\alpha}, \\ \hat{C}_{1\alpha} &= \left( k_z^{(0)2} - \frac{\omega^{(0)2}}{c^2} - 2ik_z^{(0)} \frac{\partial}{\partial z} - 2i \frac{\omega^{(0)}}{c^2} \frac{\partial}{\partial t} \right) C_{1\alpha}, \end{aligned} \quad (18)$$

$$\Omega^2 \approx (\omega_1 - k_{z1}u)^2 \approx (\omega_2 - k_{z2}u)^2 \approx 4\omega_0^2.$$

Разложив амплитуду  $C_{1\alpha}$  волны пространственного заряда пучка в (13) по собственным функциям волновода, подставим коэффициенты разложения в (17). С учетом выражения для частоты колебаний пучка  $\Omega_b$  [2] получим уравнение для скорости  $j$ -й частицы:

$$\begin{aligned} \frac{dv'_j}{dt} &= - \left[ \frac{ew_j}{2m\gamma^3} \hat{C}_0 \exp(ik_0 z'_j) + \text{с.с.} \right] - \frac{i}{2} \frac{\Omega_b^2}{k_z^{(0)}} w_j [\rho_{1\alpha} \exp(ik_z^{(0)} z'_j) - \text{с.с.}] - \\ &\quad - i \left( \frac{e}{m} \right)^2 \frac{k_z^{(0)}}{4\Omega^2 \gamma^6} w_j^2 \left( \hat{C}_1 \hat{C}_\alpha^* \exp(ik_z^{(0)} z'_j - i\mathcal{D}_{1\alpha} t) - \text{с.с.} \right), \end{aligned} \quad (19)$$

где

$$\rho_{1\alpha} = \frac{2}{N} \sum_j \exp(-ik_z^{(0)} z'_j) \Theta_1(ut + z'_j - z, \lambda) \quad (20)$$

— комбинационная гармоника волны плотности заряда пучка.

В правых частях уравнений (13) также следует провести усреднение по времени в соответствии с временной шкалой (5), причем для попутной плазменной волны быстроосциллирующие члены не возникают, поскольку для нее выполнено условие черенковского резонанса  $\omega_0 = k_{z0}u$ . После усреднения уравнений (13) для амплитуды попутной плазменной волны  $C_0$  получим

$$\frac{\partial D_0}{\partial \omega_0} \frac{\partial C_0}{\partial t} - \frac{\partial D_0}{\partial k_{z0}} \frac{\partial C_0}{\partial z} + i(k_{\perp 1}^2 + \Delta_{\perp})C_0 = \frac{m}{e} \frac{\omega_b^2}{k_{z0}} S_b \delta(r_{\perp} - r_b) \rho, \quad (21)$$

где  $\rho$  — основная гармоника волны плотности заряда пучка:

$$\rho = \frac{2}{N} \sum_j \exp(i\omega_0 t - ik_{z0} z_j) \Theta_1(z_j - z, \lambda). \quad (22)$$

Для амплитуд встречной волны и волноводной моды с частотой  $\omega_{\alpha}$  после отбрасывания в (13) быстроосциллирующих членов получаем

$$\begin{aligned} \frac{\partial D_1}{\partial \omega_1} \frac{\partial C_1}{\partial t} - \frac{\partial D_1}{\partial k_{z1}} \frac{\partial C_1}{\partial z} + i(k_{\perp 1}^2 + \Delta_{\perp})C_1 &= \\ &= -\frac{i}{2} \frac{\omega_b^2}{\Omega^2 \gamma^3} S_b \delta(r_{\perp} - r_b) \hat{\rho}_{1\alpha} \hat{C}_{\alpha} \exp(i\mathcal{D}_{1\alpha} t), \\ \frac{\partial D_{\alpha}}{\partial \omega_{\alpha}} \frac{\partial C_{\alpha}}{\partial t} - \frac{\partial D_{\alpha}}{\partial k_{z\alpha}} \frac{\partial C_{\alpha}}{\partial z} + i(k_{\perp 1}^2 + \Delta_{\perp})C_{\alpha} &= \\ &= -\frac{i}{2} \frac{\omega_b^2}{\Omega^2 \gamma^3} S_b \delta(r_{\perp} - r_b) \hat{\rho}_{1\alpha}^* \hat{C}_1 \exp(-i\mathcal{D}_{1\alpha} t), \end{aligned} \quad (23)$$

где

$$\hat{\rho}_{1\alpha} = \frac{2}{N} \sum_j w_j \exp(-ik_z^{(0)} z'_j) \Theta_1(ut - z'_j - z, \lambda) \quad (24)$$

— комбинационная гармоника волны плотности заряда пучка с учетом релятивизма электронов.

Поскольку резонансно возбуждается только одна поперечная мода (например, основная,  $n = 1$ ), а возмущение остальных поперечных мод первоначально отсутствует, то учет нерезонансных поперечных мод можно провести в соответствии с теорией возмущений [18], используя в качестве малого параметра величину  $\omega_b^2/\gamma^3\Omega^2$ . Из (21) и (23) видно, что нерезонансные амплитуды как попутной плазменной, так и других волн, а также производные резонансных амплитуд являются величинами порядка  $\omega_b^2/\gamma^3\Omega^2$ , т. е. малы. Поэтому в разложении уравнений поля по малому параметру ограничимся членами до этого порядка малости, пропорциональными амплитудам резонансных поперечных гармоник. Для выделения резонансной поперечной гармоники проведем разложение амплитуд  $C_{0,1,\alpha}$  по собственным функциям  $\varphi_n$  волновода:

$$C_{0,1,\alpha} = \sum_{n=1}^{\infty} A_{0,1,\alpha}^{(n)} \varphi_n. \quad (25)$$

6. Для более компактной записи полученных уравнений введем безразмерные переменные:

$$\begin{aligned}
 x &= k_z^{(0)} z, \quad \tau = \omega^{(0)} t, \quad \Delta = \frac{\mathcal{D}_{1\alpha}}{\omega^{(0)}}, \quad l = \frac{k_{z0}}{k_z^{(0)}}, \\
 x_j &= k_z^{(0)} z_j, \quad y_j = \frac{k_z^{(0)} v_j'}{\omega^{(0)}}, \quad \kappa_{0,1,\alpha}^2 = k_z^2 - \frac{\omega_{0,1,\alpha}^2}{c^2}, \\
 a_{0,1,\alpha} &= \frac{e}{m} \frac{k_z^{(0)}}{\gamma^3} \sqrt{\frac{\kappa_{0,1,\alpha}^2 \Delta}{(\omega_b^2/\gamma^3) \Omega_b G_1} \frac{\partial D_{0,1,\alpha}^{n-1}}{\partial \omega_{0,1,\alpha}}} \varphi_1(r_b) A_{0,1,\alpha}^{(1)}.
 \end{aligned}
 \tag{26}$$

В результате для амплитуд волн получим систему уравнений (предварительно была проведена замена  $iA_\alpha^{(1)}$  на  $A_\alpha^{(1)}$ ):

$$\begin{aligned}
 \frac{\partial a_0}{\partial \tau} + \frac{v_{g0}}{u} \frac{\partial a_0}{\partial x} &= \nu_0 \rho, \\
 \frac{\partial a_1}{\partial \tau} - \frac{v_{g1}}{u} \frac{\partial a_1}{\partial x} - i\delta_1 a_1 &= -\nu_{1\alpha} \hat{\rho}_{1\alpha} (1 - 2i\hat{L}_\alpha) a_\alpha e^{i\Delta\tau}, \\
 \frac{\partial a_\alpha}{\partial \tau} + \frac{v_{g\alpha}}{u} \frac{\partial a_\alpha}{\partial x} - i\delta_\alpha a_\alpha &= -\nu_{1\alpha} \hat{\rho}_{1\alpha}^* (1 - 2i\hat{L}_1) a_1 e^{-i\Delta\tau}
 \end{aligned}
 \tag{27}$$

где  $v_{g0,1,\alpha}$  — групповая скорость волны  $\omega_{0,1,\alpha}$ :

$$v_{g0,1,\alpha} = \frac{\omega_{0,1,\alpha}}{k_{z0,1,\alpha}} \frac{\omega_p^2 - \omega_{0,1,\alpha}^2}{\omega_p^2 - \omega_{0,1,\alpha}^4 / k_{z0,1,\alpha}^2 c^2}.
 \tag{28}$$

Отметим, что при получении второго уравнения (27) было учтено, что встречная волна имеет ту же частоту, что и попутная, но направлена в противоположную сторону, т.е.  $v_{g1} = -v_{g0}$ . В (27)  $\rho, \rho_{1\alpha}, \hat{\rho}_{1\alpha}$  по-прежнему выражают возмущения плотности заряда попутной плазменной и комбинационной волнами и вычисляются по формулам соответственно (22), (20) и (24);  $\hat{L}_{0,1,\alpha}$  — дифференциальный оператор, описывающий перестройку поляризации соответствующей волны:

$$\hat{L}_{0,1,\alpha} = \frac{1}{\kappa_{0,1,\alpha}^2} \left( k_{z0,1,\alpha} \frac{\partial}{\partial z} + \frac{\omega_{0,1,\alpha}}{c^2} \frac{\partial}{\partial t} \right),
 \tag{29}$$

а для коэффициентов  $\nu_0$  и  $\nu_{1\alpha}$  имеем

$$\begin{aligned}
 \nu_0 &= \frac{1}{\gamma^4} \sqrt{\frac{(\omega_b^2/\gamma^3) G_1 \Delta}{\Omega_b u^2 \frac{\partial D_0^{n-1}}{\partial \omega_0}}}, \\
 \nu_{1\alpha} &= \frac{1}{2} G_1 \frac{\omega_b^2/\gamma^3}{\Omega^2 \omega^{(0)}} \left| \frac{1}{\kappa_1^2} \frac{\partial D_1^{n-1}}{\partial \omega_1} \frac{1}{\kappa_\alpha^2} \frac{\partial D_\alpha^{n-1}}{\partial \omega_\alpha} \right|^{-1/2}.
 \end{aligned}
 \tag{30}$$

Выражения для величин  $\delta_1$  и  $\delta_\alpha$ , определяющих нелинейный сдвиг частоты волноводных мод [2], имеют вид

$$\delta_{1,\alpha} = \frac{1}{4} \left( \frac{\omega_b^2}{\Omega^2 \gamma^3} \right)^2 \frac{\kappa_1^2 \kappa_\alpha^2}{k_{\perp 1} \omega^{(0)}} \frac{G_1^2 (G_{\rho 1} - 1)}{\frac{\partial D_{1,\alpha}^{n-1}}{\partial \omega_{1,\alpha}}} |\hat{\rho}_{1\alpha}|^2,
 \tag{31}$$

где выражения для геометрического фактора  $G_{\rho 1}$  пространственного заряда пучка можно найти, например, в [17].

7. После перехода в покоящуюся систему координат получаем следующие уравнения движения электронов пучка:

$$\begin{aligned} \frac{dx_j}{d\tau} &= y_j, \\ \frac{dy_j}{d\tau} &= -w_j \nu_0 \gamma^4 \left( \frac{l}{2} a_0 + i \alpha_{p1} \frac{\partial a_0}{\partial \tau} \right) \exp [il(x_j - \tau)] + \frac{i}{2} w_j \alpha_{b1} l \gamma \rho \exp [il(x_j - \tau)] - \\ &\quad - \frac{i}{2} w_j \Delta^2 \rho_{1\alpha} \exp [i(x_j - \tau)] + \frac{i}{8} \delta_b w_j^2 \hat{\rho}_{1\alpha} \exp [i(x_j - \tau) - i\Delta\tau] + \\ &\quad + w_j^2 \nu_{1\alpha} \left( \frac{1}{2} a_1 a_\alpha^* + a_1 \hat{L}_\alpha a_\alpha^* - a_\alpha^* \hat{L}_1 a_1 \right) \exp [i(x_j - \tau) - i\Delta\tau] + \text{с.с.} \end{aligned} \quad (32)$$

Здесь амплитуды всех волн берутся в точке нахождения  $j$ -й частицы, т. е. при  $x = x_j$ . Для параметров  $\alpha_{bm}$  и  $\alpha_{pm}$  имеем

$$\alpha_{bm} = \frac{\omega_b^2 / \gamma^3}{k_{\perp m}^2 u^2 \gamma^2}, \quad \alpha_{pm} = \frac{\omega_p^2}{k_{\perp m}^2 u^2 \gamma^2}. \quad (33)$$

В правую часть второго уравнения (32) в выражения для сил, действующих на частицу, входят слагаемые, соответствующие гармоникам попутной плазменной волны  $a_0$  и волны плотности пространственного заряда пучка  $\rho$ . Эти гармоники отвечают черенковскому резонансу в системе. Кроме того, уравнение (32) учитывает силы, действующие на частицу со стороны комбинационных гармоник волн  $a_1 a_\alpha^*$  плазменного волновода и соответствующей гармоники плотности пространственного заряда пучка  $\rho_{1\alpha}$ . Величина  $\delta_b$  в (32) определяет поправку к силе высокочастотного пространственного заряда пучка [2] и в итоге дает сдвиг частоты пучковой волны плотности заряда:

$$\delta_b = \left( \frac{\omega_b^2}{\Omega^2 \gamma^3} \right)^2 G_1^2 (G_{\rho 1} - 1) \frac{\kappa_1^2 \kappa_\alpha^2}{k_{\perp 1} u^2} \frac{\Omega_b}{k^{(0)2}} \left[ \frac{|a_1|^2}{\partial D_1^{n=1}} + \frac{|a_\alpha|^2}{\partial D_\alpha^{n=1}} \right]. \quad (34)$$

Уравнения (27), (32) описывают нелинейную динамику взаимодействия встречной волны  $(\omega_1, k_{z1})$  и волны  $(\omega_\alpha, k_{z\alpha})$ . Встречная волна образовалась за счет отражения попутной плазменной волны, возникшей при инжекции релятивистского электронного пучка в волновод конечной длины с поперечно-однородным плазменным заполнением.

В случае слаборелятивистского пучка ( $w_j \sim 1$ ) малой плотности в уравнениях (27) и (32) можно учесть члены первого приближения по параметру  $\omega_b^2 / \gamma^3 \Omega^2$ . В этом случае системы (27) и (32) несколько упрощаются

$$\frac{\partial a_0}{\partial \tau} + \frac{v_{g0}}{u} \frac{\partial a_0}{\partial x} = \nu_0 \rho,$$



$$\begin{aligned} \frac{\partial a_1}{\partial \tau} - \frac{v_{g0}}{u} \frac{\partial a_1}{\partial x} &= -\nu_{1\alpha} \rho_{1\alpha} a_\alpha e^{i\Delta\tau}, \\ \frac{\partial a_\alpha}{\partial \tau} + \frac{v_{g\alpha}}{u} \frac{\partial a_\alpha}{\partial x} &= -\nu_{1\alpha} \rho_{1\alpha}^* a_1 e^{-i\Delta\tau}, \end{aligned} \quad (35)$$

$$\begin{aligned} \frac{dy_j}{d\tau} &= -\nu_0 \gamma^4 \left( \frac{l}{2} a_0 + i\alpha_{p1} \frac{\partial a_0}{\partial \tau} \right) \exp [il(x_j - \tau)] + \frac{i}{2} \alpha_{b1} l \gamma \rho \exp [il(x_j - \tau) - \\ &- \frac{i}{2} \Delta^2 \rho_{1\alpha} \exp [i(x_j - \tau)]] + \frac{1}{2} \nu_{1\alpha} a_1 a_\alpha^* \exp [i(x_j - \tau) - i\Delta\tau] + \text{с.с.} \end{aligned}$$

В дальнейшем эти уравнения исследуются численно. Система (35) дополняется граничными условиями

$$\begin{aligned} a_1(x = k_{z0}L, \tau) &= \kappa a_0(x = k_{z0}L, \tau), \\ a_0(x = 0, \tau) &= a_1(x = 0, \tau), \end{aligned} \quad (36)$$

где  $\kappa$  — коэффициент трансформации попутной волны во встречную на выходе из системы.

В заключение вывода основных уравнений поясним еще раз роль встречной волны в процессах в системе. Во-первых, она осуществляет обратную связь, т. е. перенос на вход в систему части выходного сигнала. Во-вторых, рассеиваясь на электронном пучке с изменением частоты в другую моду, встречная волна может изменить механизм, или, по крайней мере, сильно повлиять на пучково-плазменное взаимодействие.

8. Ввиду сложности уравнений (35) рассматривать процессы в системе, описываемой этими соотношениями при граничных условиях (36), можно только с помощью численного моделирования.

Напомним характер зависимости динамики черенковского излучения от параметров системы в случае, когда роль встречной волны сводится только к осуществлению обратной связи [1]. Основным параметром, влияющим на процессы в генераторе при фиксированных длине системы и коэффициенте отражения, является ток пучка или параметр  $\nu_0$  связи электронов пучка с попутной плазменной волной. Известно, что система плазменного генератора самовозбуждается при токе пучка, превышающем некоторое пороговое значение [2], определяемое как длиной системы, так и коэффициентом отражения. При токах электронного пучка меньших порогового возмущение плазменных колебаний, внесенное фронтом пучка, со временем затухает и включения генератора не происходит. При токах, ненамного превышающих пороговое значение, в резонаторе устанавливается стационарное распределение модулей амплитуд волн, отвечающее оптимальному уровню генерации. При этом стабилизация пучково-плазменной неустойчивости происходит вблизи излучающего устройства. Отметим, что механизмом насыщения в случае однородного плазменного заполнения является захват электронов пучка плазменной волной. При увеличении тока пучка возрастает связь электронного пучка с полем плазменной волны, имеет место более быстрый рост амплитуды этой волны в пространстве. При этом максимум амплитуды, соответствующий точке захвата электронов пучка, смещается внутрь системы и наблюдается более низкий уровень выходного сигнала. Встречная волна, осуществляющая обратную связь, приводит к хаотическим осцилляциям точки насыщения пучково-плазменной неустойчивости существенно внутри системы, а следовательно, и к хаотизации выходного сигнала. Пространственное распределение модулей амплитуд волн в системе для  $L \approx 12$  см и

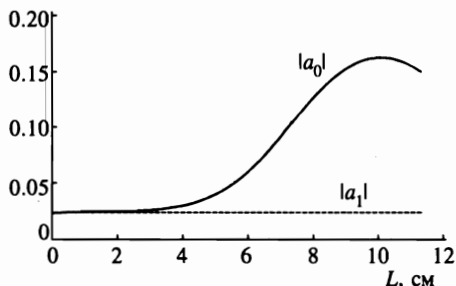


Рис. 2. Пространственное распределение модулей амплитуд волн  $a_0$  (сплошная линия) и  $a_1$  (пунктир) для  $\nu_0 = 0.005$  в случае, когда нелинейное взаимодействие волн не учитывается ( $\nu_{12} = 0$ )

$\nu_0 = 0.005$  показано на рис. 2. Поскольку максимум модуля амплитуды попутной плазменной волны расположен вблизи излучающего устройства, значение тока пучка в этом случае близко к оптимальному. После завершения переходных процессов в волноводе установится данное распределение амплитуд волн, которое и будет сохраняться в системе, если не учитывать возможность рассеяния встречной волны на электронах пучка. Учет этого рассеяния приводит к тому, что вследствие нелинейного взаимодействия волн нарушается динамика генерации плазменной волны, находящейся в черенковском резонансе с пучком.

Для реальных параметров системы инкременты развития неустойчивости, связанной с нелинейным взаимодействием встречной и одной из волноводных мод ( $\omega_\alpha, k_{z\alpha}$ ), малы по сравнению с инкрементом черенковской неустойчивости. Малые инкременты (или большие времена развития неустойчивости, связанной с нелинейным взаимодействием встречной плазменной волны и волны ( $\omega_\alpha, k_{z\alpha}$ )) делают возможным наблюдать указанный эффект только в ограниченном ряде случаев. Поскольку высокочастотные волноводные моды ( $\alpha = 3, 4$ ) имеют достаточно высокие групповые скорости (за исключением случая  $k_{z3} \approx 0, v_{g3} \approx 0$  вблизи частоты отсечки), возникающие локальные возмущения волны ( $\omega_\alpha, k_{z\alpha}$ ), довольно быстро выносятся из системы. Развитие неустойчивости в этом случае требует больших длин взаимодействия, превышающих длину системы  $L$ .

Иным образом развиваются процессы с участием плазменной волны ( $\omega_2, k_{z2}$ ). Ее крайне малая групповая скорость и большой коэффициент отражения от излучающего рупора приводят к накоплению колебаний частоты  $\omega_2$ , запертых в объеме плазмы. Это может привести к нарушению режима работы генератора на черенковской неустойчивости. Это и наблюдалось в численном эксперименте. Рассматривалось возбуждение плазменного волновода фронтом пучка при возможном комбинационном резонансе встречной плазменной волны и плазменной волны ( $\omega_2, k_{z2}$ ), соответствующей точке 2 на рис. 1.

На рис. 3 приведены результаты численного моделирования процессов в системе для  $\nu_0 = 0.005, \nu_{12} = 0.01$ . На рис. 3а изображена зависимость модуля амплитуды попутной плазменной волны на выходе,  $|a_0(z = L, t)|$ , от времени. На рис. 3б показана временная зависимость усредненных интегральных кинетических потерь пучка

$$\eta(t) = 1 - \frac{W_{in} + W_{out}}{W_{inp}}, \tag{37}$$

где  $W_{inp}, W_{in}, W_{out}$  — суммарные на момент времени  $t$  кинетические энергии крупных частиц, инжектированных в волновод, находящихся внутри него и вылетевших из си-

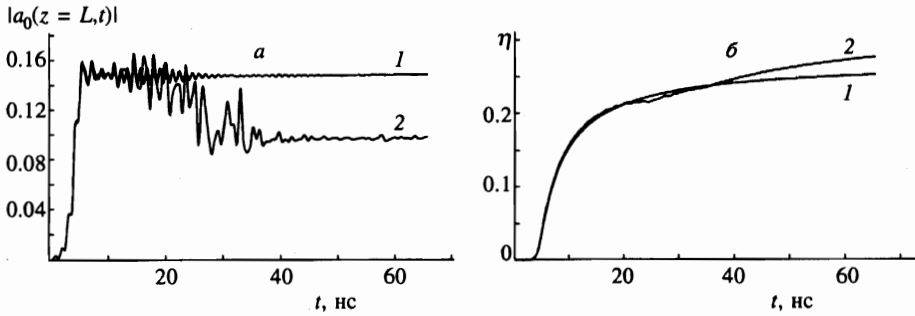


Рис. 3. Эволюция выходного сигнала (а) и интегральные кинетические потери пучка (б) для  $\nu_0 = 0.005$ : 1 —  $\nu_{12} = 0$ ; 2 —  $\nu_{12} = 0.01$

стемы, соответственно. Кривые 1 на рис. 3 соответствуют системе без учета излучения плазменной волны ( $\omega_2, k_{z2}$ ), т. е. при  $\nu_{12} = 0$ . Видно, что после завершения переходных процессов в системе устанавливается стационарное распределение модулей амплитуд волн. Кривые 2 на рис. 3 соответствуют случаю  $\nu_{12} = 0.01$  и  $\Delta \approx 0$ , т. е. результату учета воздействия на режим генерации взаимодействия встречной плазменной волны и плазменной волны ( $\omega_2, k_{z2}$ ), находящихся в комбинационном резонансе. Наблюдается установление стационарного распределения модуля попутной плазменной волны. Однако уровень амплитуды этой волны на выходе приблизительно на треть ниже, чем в случае  $\nu_{12} = 0$  (кривая 1 на рис. 3а) и время установления этого стационарного состояния значительно превосходит время установления стационарного распределения в первом случае.

Из рис. 3б видно, что до времени установления стационарного режима генерации волны, находящейся в черенковском резонансе с электронами пучка ( $t < 20$  нс), кинетические потери пучка для рассмотренных случаев практически совпадают. В течение времени переходных для нелинейного взаимодействия волн процессов вплоть до установления стационарного режима выходного сигнала, соответствующего кривой 2 на рис. 3а ( $20 \text{ нс} < t < 40 \text{ нс}$ ), пучок теряет в среднем несколько меньше энергии, чем при отсутствии учета вынужденного излучения волн с частотами  $\omega_1$  и  $\omega_2$ . В этот период в системе наблюдаются нестационарные процессы, связанные с перераспределением энергии между волнами в системе. На этом этапе начинается рост амплитуды волны  $a_2$ . Когда рост  $a_2$  прекращается ( $t \sim 50$  нс), в системе устанавливается динамическое равновесное распределение модулей амплитуд  $a_0, a_1, a_2$  — наблюдается установление стационарного распределения амплитуд. При этом кинетические потери больше, чем в случае стационарного распределения двух волн  $a_0, a_1$  (см. рис. 2), поскольку появляются дополнительные потери, связанные с вынужденным излучением волны ( $\omega_2, k_{z2}$ ).

Таким образом, на первом этапе в системе развивается черенковская неустойчивость, пучок модулируется на частоте черенковского резонанса и в резонаторе появляется встречная волна. Промодулированный по плотности пучок помимо основной гармоники ( $\omega_0, k_{z0}$ ) содержит и комбинационную гармонику волны плотности заряда пучка, что впоследствии приводит к вынужденному излучению волны ( $\omega_2, k_{z2}$ ). При этом встречная плазменная волна, по-прежнему осуществляющая обратную связь в генераторе, также принимает участие в этом вынужденном излучении.

На рис. 4 показана эволюция пространственного распределения амплитуд волн в

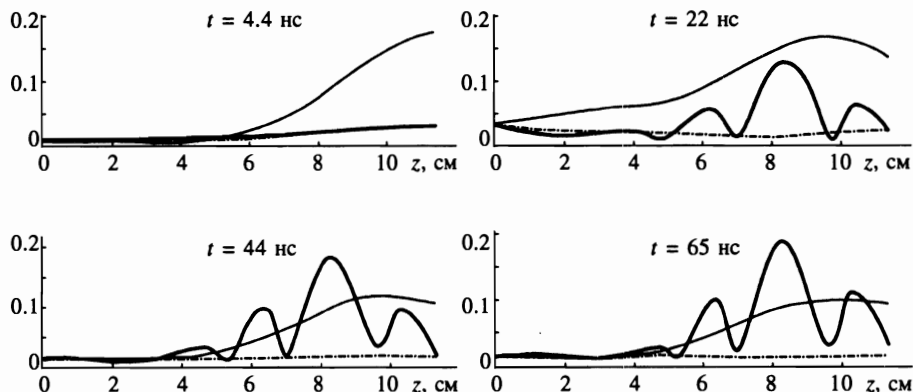


Рис. 4. Эволюция пространственного распределения модулей амплитуд волн  $a_0$  (тонкая линия),  $a_1$  (пунктир),  $a_2$  (жирная линия) для  $\nu_0 = 0.005$  и  $\nu_{12} = 0.01$

системе. Видно, что после нарастания до определенного значения амплитуда волны  $a_2$  практически не изменяет своего значения при  $t > 40$  нс. Таким образом, помимо попутной и встречной плазменных волн в системе присутствуют локализованные в пространстве и запертые в объеме плазмы ( $v_{g2} \approx 0$ ,  $\kappa \sim 1$ ) колебания частоты  $\omega_2$ .

Итак, в настоящей работе показано, что на режим генерации в волноводе конечной длины с однородным плазменным заполнением существенно влияет нелинейное взаимодействие встречной плазменной волны и другой моды (плазменной сильно потенциальной, т. е. волны с фазовой скоростью много меньшей скорости света) плазменного волновода, находящегося в комбинационном резонансе. С помощью численного моделирования показано снижение эффективности выходного излучения плазменной попутной волны за счет перекачки части энергии, теряемой пучком, в запертую в объеме плазмы волну ( $\omega_2, k_{z2}$ ).

## Литература

1. М. А. Красильников, М. В. Кузелев, А. А. Рухадзе, ЖЭТФ **108**, 521 (1995).
2. М. В. Кузелев, А. А. Рухадзе, *Электродинамика плотных электронных пучков в плазме*, Наука, Москва (1990).
3. Х. Вильгельмсон, Я. Вейланд, *Когерентное нелинейное взаимодействие волн в плазме*, Энергоиздат, Москва (1981).
4. Л. С. Богданкевич, М. В. Кузелев, А. А. Рухадзе, УФН **133**, 3 (1981).
5. В. Л. Братман, Н. С. Гинзбург, М. И. Петелин, ЖЭТФ **76**, 930 (1979).
6. И. Ф. Харченко, Я. Б. Файнберг, Р. М. Николаев и др., ЖЭТФ **38**, 687 (1960).
7. Р. А. Демирханов, А. К. Геворков, А. Ф. Попов, Г. И. Зверев, ЖТФ **30**, 306 (1982).
8. М. В. Кузелев, А. Р. Майков, А. Д. Поезд и др., ДАН СССР **300**, 1112 (1988).
9. В. В. Мигулин, В. И. Медведев, Е. Р. Мустель, В. Н. Парыгин, *Основы теории колебаний*, Наука, Москва (1988).
10. Л. Д. Ландау, Е. М. Лифшиц, *Электродинамика сплошных сред*, Наука, Москва (1992).
11. Б. З. Каценелембаум, *Высокочастотная электродинамика*, Наука, Москва (1966).

12. Ю. Л. Климонтович, *Кинетическая теория неидеального газа и неидеальной плазмы*, Наука, Москва (1975).
13. Ю. А. Березин, М. П. Федорук, *Моделирование нестационарных плазменных процессов*, Наука, Новосибирск (1993).
14. Ю. А. Березин, В. А. Вшивков, *Метод частиц в динамике разреженной плазмы*, Наука, Новосибирск (1980).
15. А. Г. Литвак, В. И. Петрухина, В. И. Трахтенгерц, Письма в ЖЭТФ **18**, 190 (1973).
16. М. В. Кузелев, В. А. Панин, Изв. вузов, Радиофизика **27**, 426 (1984).
17. М. В. Кузелев, В. А. Панин, А. А. Рухадзе, Д. С. Филиппычев, Письма в ЖТФ **10**, 228 (1984).
18. А. Найфе, *Введение в методы возмущений*, Мир, Москва (1984).